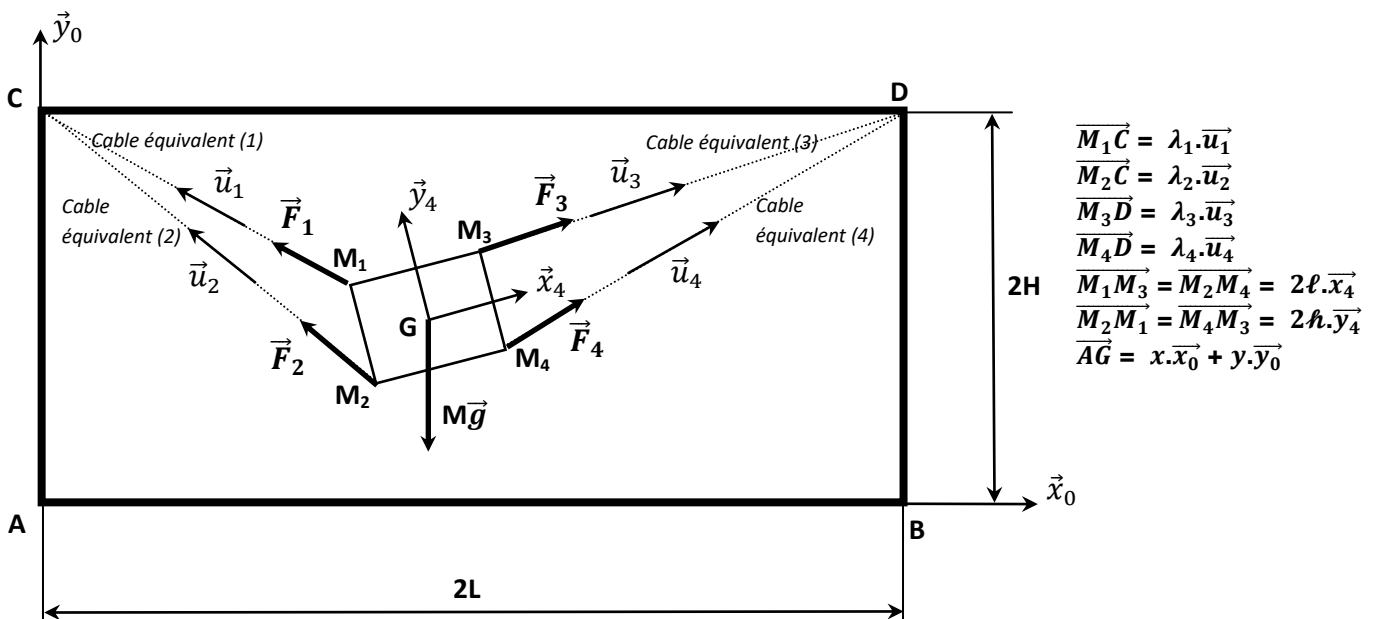
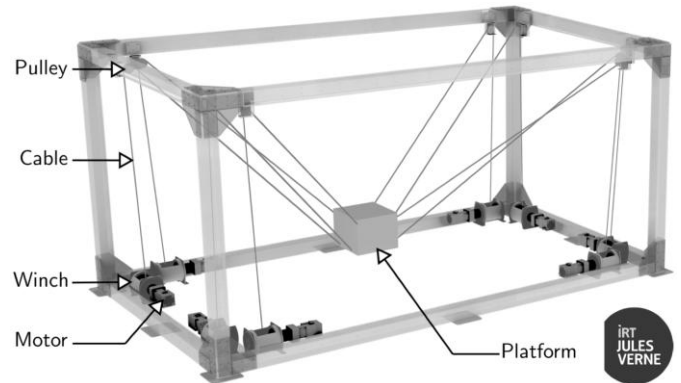


Contrôle continu de mécanique du solide

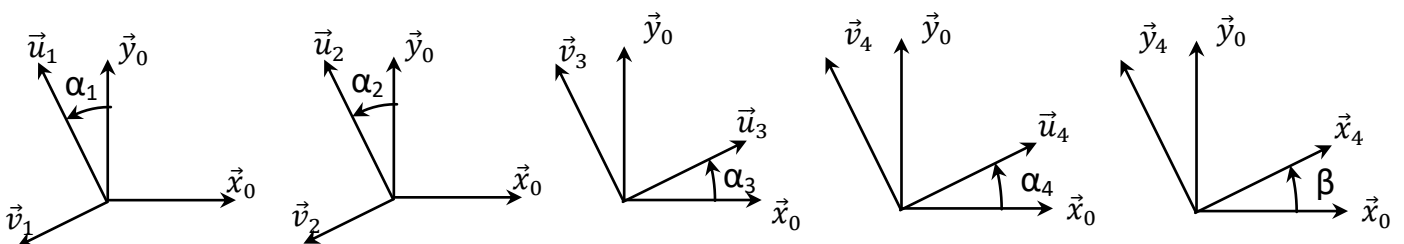
Les robots parallèles à câbles sont une nouvelle structure de robots apparus au début des années 2000 et encore en développement actif. Dans ce système, la plate-forme est déplacée et orientée par rapport à une référence fixe dans toutes les directions de l'espace par l'enroulement ou le déroulement de plusieurs câbles. Cette structure permet à la plate-forme d'atteindre une grande zone de travail avec, en tenant compte de l'inévitable déformation des câbles, une très grande précision dans le positionnement comme dans l'orientation.

Torseur associé à l'action de la charge :

$$\left\{ \mathcal{J}_{(g \rightarrow ch)} \right\}_G = \begin{cases} \vec{R}_{g \rightarrow pr} = -M\vec{g} \cdot \vec{y}_0 \\ \vec{M}_{Gg \rightarrow ch} = \vec{0} \end{cases}$$



Position des différentes bases mobiles par rapport à la base fixe :



La plate-forme est de dimensions $2\ell \times 2h$ selon respectivement \vec{x}_4 et \vec{y}_4 .

Le centre géométrique G de la plate-forme est donc situé à une distance $\pm\ell$ (selon \vec{x}_4) et $\pm h$ (selon \vec{y}_4) des quatre coins M_1 à M_4 .

Pour trouver la relation entre les quatre longueurs λ_1 à λ_4 , la géométrie des éléments (longueurs L et H pour le portique et longueurs ℓ et h pour la plate-forme) et les paramètres x , y et β définissant la position du centre géométrique G et l'orientation de la plate-forme dans le plan médian, il est nécessaire de déterminer les équations issues des fermetures géométriques sur les boucles formées par les câbles et la structure du portique.

1) Exprimer les vecteurs $\vec{CM}_1, \vec{CM}_2, \vec{M}_1\vec{M}_3, \vec{M}_2\vec{M}_4, \vec{M}_3\vec{D}, \vec{M}_4\vec{D}, \vec{CD}$ dans la base \vec{x}_0, \vec{y}_0

2) Exprimer les vecteurs $\vec{GM}_1, \vec{GM}_2, \vec{GM}_3, \vec{GM}_4$ dans la base \vec{x}_4, \vec{y}_4 puis dans la base \vec{x}_0, \vec{y}_0

Relations entre longueurs des câbles et angles d'inclinaison des câbles et de la plate-forme

3) En projetant la fermeture vectorielle $\vec{CM}_1 + \vec{M}_1\vec{M}_3 + \vec{M}_3\vec{D} = \vec{CD}$ sur les directions \vec{x}_0 et \vec{y}_0 en déduire deux équations scalaires entre les longueurs L, ℓ, λ_1 et λ_3 et les angles α_1, α_3 et β .

Remarque

En projetant les autres fermetures vectorielles associées aux câbles, soit

$\vec{CM}_2 + \vec{M}_2\vec{M}_4 + \vec{M}_4\vec{D} = \vec{CD}$, $\vec{CM}_1 + \vec{M}_1\vec{M}_2 = \vec{CM}_2$ et $\vec{DM}_3 + \vec{M}_3\vec{M}_4 = \vec{DM}_4$ sur les directions \vec{x}_0 et \vec{y}_0 il serait possible d'obtenir six autres équations scalaires reliant les longueurs λ_1 à λ_4 des câbles, leurs inclinaisons α_1 à α_4 , les dimensions L du portique et ℓ ou h de la plate-forme et l'angle β

Relations entre longueurs des câbles et altitude de la plate-forme

4) En projetant la relation vectorielle $\vec{AG} = \vec{AC} + \vec{CM}_1 + \vec{M}_1\vec{G}$ sur les directions \vec{x}_0 et \vec{y}_0 , déterminer les expressions des coordonnées x et y du centre géométrique G en fonction des longueurs λ_1, ℓ, h et H et des angles α_1 et β . En déduire l'expression de la longueur λ_1 du câble équivalent (1) sous la forme :

$$\lambda_1 = \sqrt{(x - f_1(\beta))^2 + (y - f_2(\beta))^2}$$

où les deux fonctions f_1 et f_2 sont à exprimer en fonction de l'angle β et des longueurs constantes ℓ, h et H .

Torseur résultant de $\vec{F}_1, \vec{F}_2, \vec{F}_3, \vec{F}_4$

Les torseurs associés aux actions $\vec{F}_1, \vec{F}_2, \vec{F}_3, \vec{F}_4$ s'écrivent : $\{\mathcal{J}_{(F_i)}\}_{M_i} = \left\{ \begin{array}{l} \vec{F}_i = F_i \cdot \vec{u}_i \\ \vec{M}_{M_i}(F_i) = \vec{0} \end{array} \right\}$

5) Calculer les produits vectoriels $\vec{x}_4 \wedge \vec{u}_1; \vec{y}_4 \wedge \vec{u}_1; \vec{x}_4 \wedge \vec{u}_2; \vec{y}_4 \wedge \vec{u}_2; \vec{x}_4 \wedge \vec{u}_3; \vec{y}_4 \wedge \vec{u}_3; \vec{x}_4 \wedge \vec{u}_4; \vec{y}_4 \wedge \vec{u}_4$
Exprimer les torseurs associés aux actions $\vec{F}_1, \vec{F}_2, \vec{F}_3, \vec{F}_4$ en G

6) Exprimer le torseur résultant $\{\mathcal{J}_{(R)}\}$ de $\vec{F}_1, \vec{F}_2, \vec{F}_3, \vec{F}_4$ en G